

# Dinamica - Sommario

Dinamica.

## A. LA TEORIA DELLA DINAMICA

### A1. Grandezze della Dinamica

#### Definizione di Massa e di Forza

Definizioni preliminari per la dinamica: la grandezza fondamentale massa, grandezza derivata forza.

### 1. Definizioni di massa

#Definizione

Definizione (le tre definizioni di massa).

Possiamo dare *tre definizioni* di *massa*.

- i. Può essere definita come la *quantità di materia di un corpo*
  - ii. Può essere una *misura della resistenza alla variazione della velocità* (massa inerziale)
  - iii. Può essere una *misura proporzionale al peso* (massa gravitazionale)
- In ogni caso la massa si misura in *kilogrammi* ([kg])

#Osservazione

Osservazione (la massa inerziale e gravitazionale non erano uguali).

Fino alla teoria della *relatività di Einstein*, non c'era nessun motivo teorico per far *coincidere* la *massa inerziale* con la *massa gravitazionale*; solo gli esperimenti erano in grado di giustificare tale rapporto.

## 2. Definizione di Forza

#Definizione

Definizione (la forza).

Si definisce la *forza* come una *spinta che produce un cambiamento di moto*. Questa spinta è misurabile con un *dinamometro*.

La forza si misura in *Newton* ([N]), in particolare si ha

$$1 \text{ N} = 1 \text{ kg} \cdot \frac{\text{m}}{\text{s}^2}$$

Per una giustificazione di tale relazione, vedere le *leggi di Newton* (1)

## A2. I principi della Dinamica

### Principi della Dinamica

*Le leggi di Newton o i principi della dinamica.*

### 1. Le Leggi di Newton (o i principi della dinamica)

#Teorema

Teorema (i principi della dinamica o le leggi di Newton).

Enunciamo le leggi di Newton.

I. "Se la forza risultante  $\sum \vec{F}$  che agisce su un corpo è nulla, allora l'accelerazione di questo corpo è anche nulla." Ovvero,

$$\sum \vec{F} = 0 \implies \vec{a} = 0$$

II. "L'accelerazione di un corpo è proporzionale alla forza risultante su questo corpo" Ovvero,

$$\sum \vec{F} = m \cdot \vec{a}$$

III. "La forza esercitata da un corpo A su un corpo B è uguale in modulo e direzione e in verso opposto alla forza esercitata da B su A." (legge di azione-reazione); ovvero,

$$\vec{F}_{AB} = -\vec{F}_{BA}$$

#### #Osservazione

Osservazione (le prime due leggi sono apparentemente ridondanti).

Osserviamo che la prima legge sembra una *diretta conseguenza* della seconda legge di Newton. Infatti, se la risultante è nulla, allora anche l'accelerazione è nulla.

Tuttavia, è comunque utile tenerci conto della *prima legge*, in quanto sarà utile per *definire moti rettilinei uniformi* (oppure *sistemi di riferimento inerziali*); ovvero i moti dei corpi su cui non agiscono *forze*.

## A3. Diagramma di Corpo Libero

### Diagramma di Corpo Libero

Metodo convenzionale per la rappresentazione delle forze: diagramma di corpo libero. Regole per disegnare un diagramma di corpo libero.

## 0. Voci Correlate

- Definizione di Massa e di Forza

## 1. Diagramma di Corpo Libero

### #Osservazione

Osservazione (l'obiettivo di questa convenzione).

Vogliamo trovare delle *regole precise* per rappresentare un *problema di fisica* che coinvolge tante *forze*. Uno dei modi è il *diagramma del corpo libero*, e le regole sono come seguono.

### #Proposizione

Proposizione (regole del diagramma di corpo libero).

Enunciamo le seguenti regole per disegnare un *diagramma di corpo libero*.

A. Ogni corpo viene *rappresentato come un punto* (anche se sarebbe un corpo esteso).

B. Disegnare *tutte*, ma *solo*, le *forze* che sono *applicate* sul *corpo*, come dei *vettori*.

Quindi, non vanno disegnate: la velocità del corpo; la forza applicata dal corpo su un altro corpo (invece va disegnata la contraria)

## 2. Esempio di Diagramma di Corpo Libero

### #Esempio

Esempio (esempio).

Vedere esempio di forza peso e forza normale (1).

## B. LE FORZE A CONTATTO DELLA DINAMICA

# B1. Forza Peso e Forza Normale

## Forza Peso e Forza Normale

*Definizione di forza peso e forza normale ad una superficie. Esempio di forza peso e forza normale di un corpo.*

### 0. Voci correlate

- Principi della Dinamica
- Definizione di Massa e di Forza

### 1. Forza Peso

#### #Definizione

#### Definizione (forza peso).

Supponiamo di avere un corpo con massa  $m$ . Come ci è noto, in caduta libera il corpo cade con un'accelerazione  $g$ .

Quindi per le leggi di Newton, possiamo definire la **forza peso** come la quantità

$$\vec{F}_g = m\vec{g} = -mg \cdot \hat{j}$$

#### #Osservazione

Osservazione (la forza peso non è necessariamente una forza inerziale).

Anche se la formula  $F_g = mg$  assomiglia a  $F = ma$ , ricordiamo che queste sono **molto diverse**. Infatti, non è detto che le masse  $m$  siano necessariamente uguali (1).

Inoltre, si nota che

$$\vec{F} = m\vec{g}$$

è un *caso particolare* della *legge gravitazionale universale*; infatti, se si vuole essere più precisi,  $\vec{g}$  è un valore al variare in *altezza dal centro della terra e massa della terra*;  $\vec{g} = \vec{g}(r_T, m_T)$ .

## 2. Forza Normale

### #Definizione

#### Definizione (forza normale).

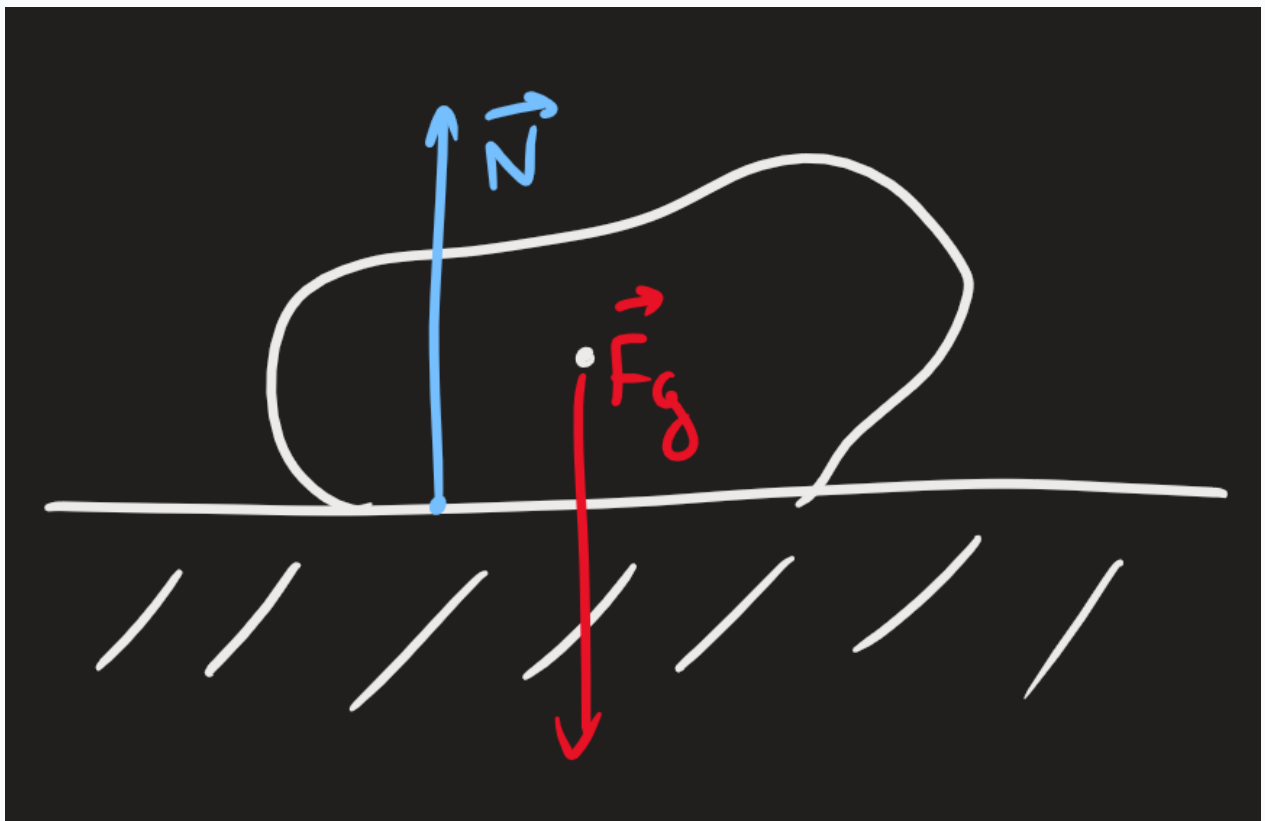
Adesso supponiamo di avere un *corpo* su una *superficie* (figura 2.1). Come si potrebbe osservare, questo corpo subisce la *forza peso* (1), tuttavia non è in movimento.

Allora, per la legge di Newton dev'esserci una forza che si oppone alla forza peso  $\vec{F}_g$ .

Si ha infatti la *forza normale*, che è un *caso particolare* di *forza di contatto*; è la *spinta* della superficie. In particolare, il verso di questa forza è *perpendicolare* (ovvero normale) alla superficie.

La forza normale si denota con  $\vec{N}$ .

**FIGURA 2.1.** (*Corpo su una superficie*)



### 3. Esempio Combinato

#Esempio

Esempio (esempio dei due blocchi).

Supponiamo di avere due blocchi, uno posto sopra l'altro (ovvero la *figura 3.1.*). Conoscendo le sole forze pesi dei corpi, vogliamo trovare la forza normale esercitata su entrambi i corpi.

Innanzitutto rappresentiamo le forze secondo il *diagramma di corpo libero* (1); ovvero abbiamo al *figura 3.2.*. Adesso, sfruttiamo le *leggi di Newton* (2).

Innanzitutto posso dire che la forza risultante sul *primo corpo* è

$$\sum \vec{F}_1 = \vec{N} + \vec{N}_{12} + \vec{F}_{g1} = m\vec{a}_1 = 0$$

Parimenti, sul secondo corpo abbiamo

$$\sum \vec{F}_2 = \vec{N}_{21} + \vec{F}_{g2} = m\vec{a}_2 = 0$$

L'obiettivo è di *isolare* la  $\vec{N}$ .

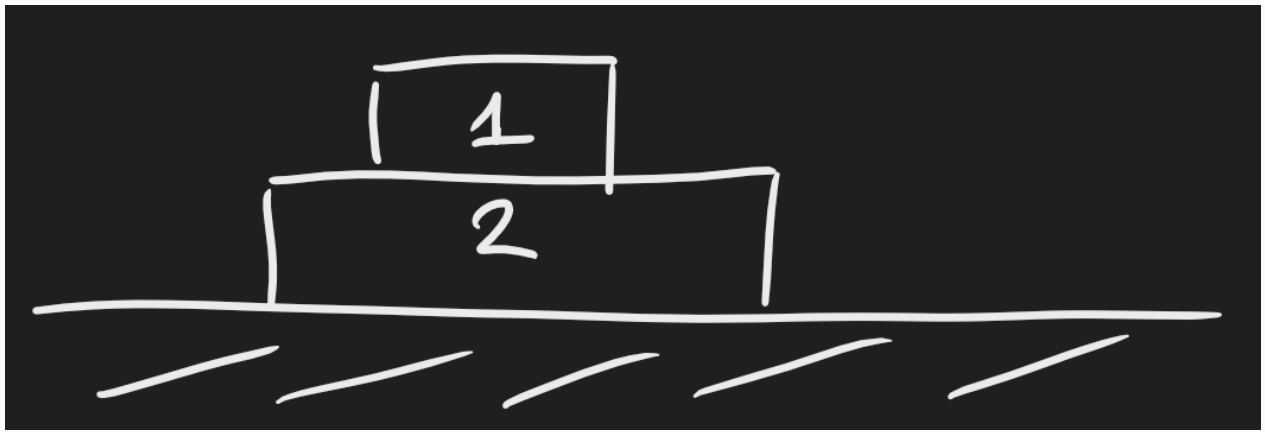
Allora usiamo la terza legge di Newton, per cui  $\vec{N}_{12} = -\vec{N}_{21}$ . Inoltre, per definizione di forza peso abbiamo  $\vec{F}_{g1} = m_1\vec{g}$ ;  $\vec{F}_{g2} = m_2\vec{g}$ .

Infine, combinando tutto ho

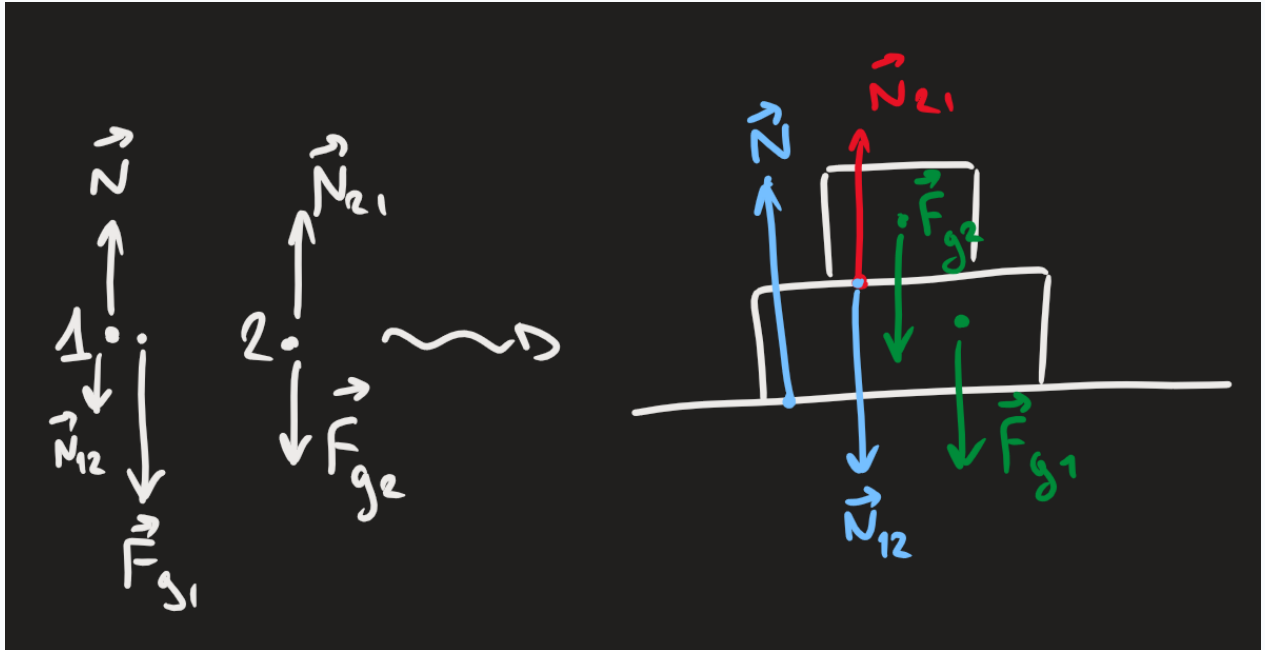
$$\begin{aligned}\vec{N} &= -\vec{N}_{12} - \vec{F}_{g1} \\ &= \vec{N}_{21} - \vec{F}_{g1} \\ &= -\vec{F}_{g2} - \vec{F}_{g1} \\ &= -m_2\vec{g} - m_1\vec{g} = -(m_1 + m_2)\vec{g}\end{aligned}$$

che è la risposta voluta.

**FIGURA 3.1.** (*Situazione iniziale*)



**FIGURA 3.2.** (*Diagramma dei corpi liberi*)



## B2. Corde

### Forza Tensione

*Forza tensione generata da una corda ideale*

### 0. Voci correlate

- Forza Peso e Forza Normale
- Definizione di Massa e di Forza

### 1. Forza Tensione



## #Definizione

### Definizione (tensione meccanica).

Prendiamo un *corpo sospeso* su una *corda idealizzata* (ovvero senza massa). Intuiamo che c'è una *forza* esercitata da questa *corda idealizzata*, che si oppone alla *forza peso*.

Chiamiamo questa forza come "*tensione meccanica*" e la indichiamo con  $\vec{T}$

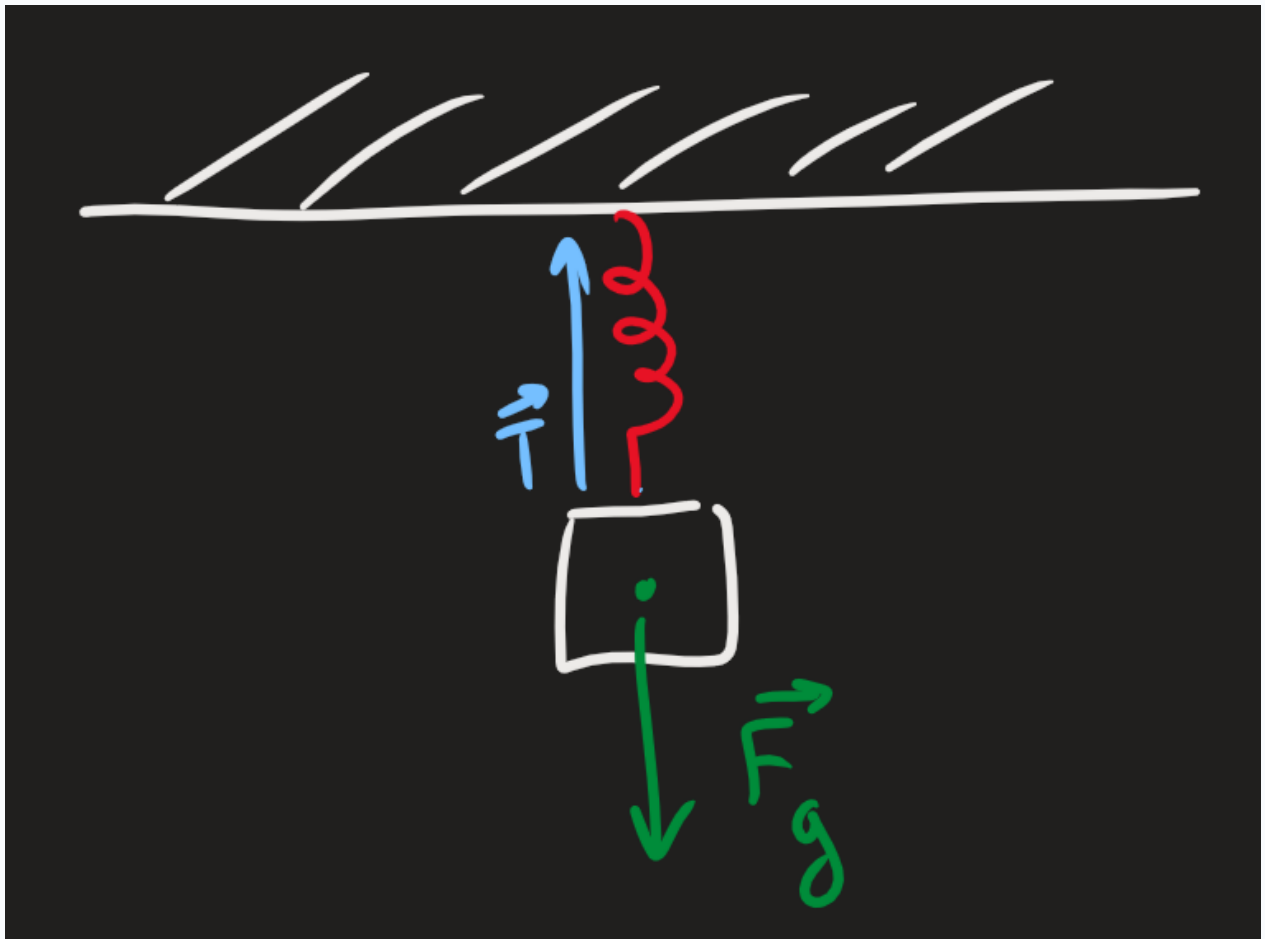
## #Proposizione

### Proposizione (le proprietà della tensione).

Notiamo le seguenti proprietà della tensione.

- I. La tensione  $\vec{T}$  è *sempre* parallela alla corda esercitante della forza.
- II. Il modulo  $|\vec{T}|$  è *uguale lungo tutto la corda*; ovvero  $|\vec{T}|$  si tramette lungo la corda.

**FIGURA 1.1.** (*Situazione ipotetica*)



## B3. Attrito Statico e Dinamico

### Attrito Statico e Dinamico

(c) Qual è la velocità di Mario quando la molla passa attraverso la sua posizione di equilibrio?

- - -

*Attrito statico e dinamico. Definizioni, giustificazione microscopica e formule.*

## 0. Voci correlate

- Forza Peso e Forza Normale
- Definizione di Massa e di Forza

## 1. Considerazione Preliminare

### #Osservazione

Osservazione (gli oggetti in moto si fermano).

Prendiamo un oggetto in moto, con un'accelerazione  $\vec{a}$  (quindi abbiamo dato una spinga). Dopo un certo intervallo di tempo, questo oggetto si ferma.

Questo significa che *esiste* una forza che si opponga alla "*forza motrice*"  $F_m$  (ovvero quello che dà l'accelerazione  $\vec{a}$ ). Per poter descrivere questa forza, facciamo un breve richiamo alla *forza normale* (1).

La forza normale è *ortogonale* alla superficie, e ha il modulo tale che il moto è *vincolato*, permettendo solo un *movimento parallelo* alla superficie.

## 2. Definizione di Attrito

Definizione (attrito statico e dinamico).

L'attrito è la "*versione ortogonale*" della *forza normale* (1); ovvero è solo *parallela* alla superficie e il suo modulo *varia* a seconda della tipologia dell'attrito: statico e dinamico.

A. **Attrito statico**: L'attrito statico agisce quando abbiamo un **corpo fermo**, e ha il modulo tale che il moto sia vincolato. Questa forza viene indicata con  $F_s$  e vale che  $F_s = -F_m$

Ad un certo punto la forza motrice diventa sufficientemente grande per far muovere il corpo, e a questo punto entra in gioco l'**attrito dinamico**.

B. **Attrito dinamico**: L'attrito dinamico agisce quando abbiamo un **corpo in movimento**, e ha il modulo **proporzionale** alla **forza normale** (quindi l'oggetto si sta muovendo). Questa forza viene indicata con  $F_d$

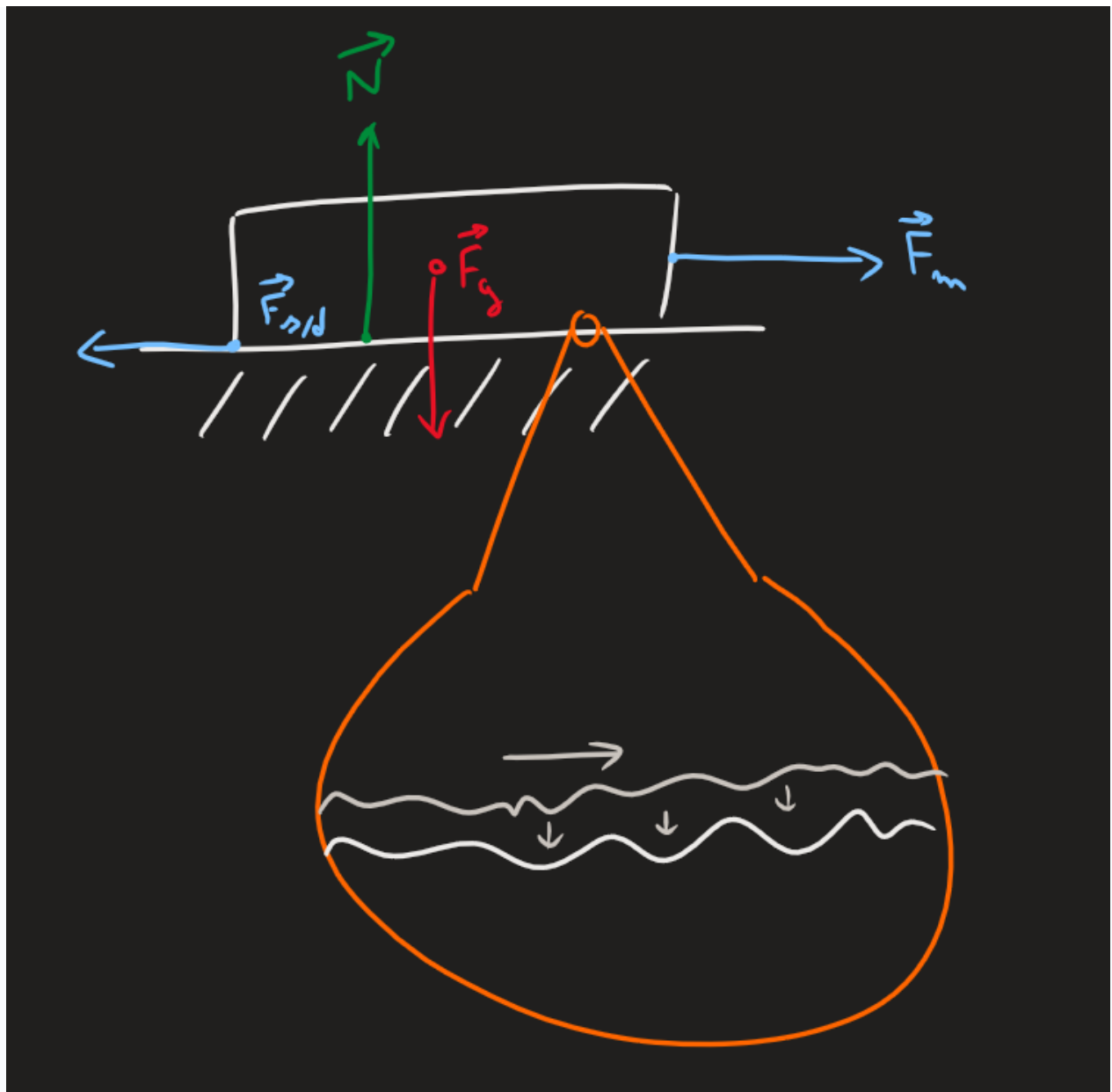
#### #Osservazione

Osservazione (giustificazione microscopica per l'attrito).

Come mai esiste l'attrito? Se prendiamo un microscopio e analizziamo le **superfici** del corpo e della superficie stessa, si potrà vedere che questi non saranno **mai** completamente regolari.

Quindi, quando facciamo muovere il corpo, abbiamo che le due superfici irregolari si oppongono, finché questi si **"incastrano tra di loro perfettamente"**, per tenere il corpo fermo.

**FIGURA 2.1.** (*Giustificazione microscopica dell'attrito*)



### #Teorema

#### Definizione (coefficienti di attrito).

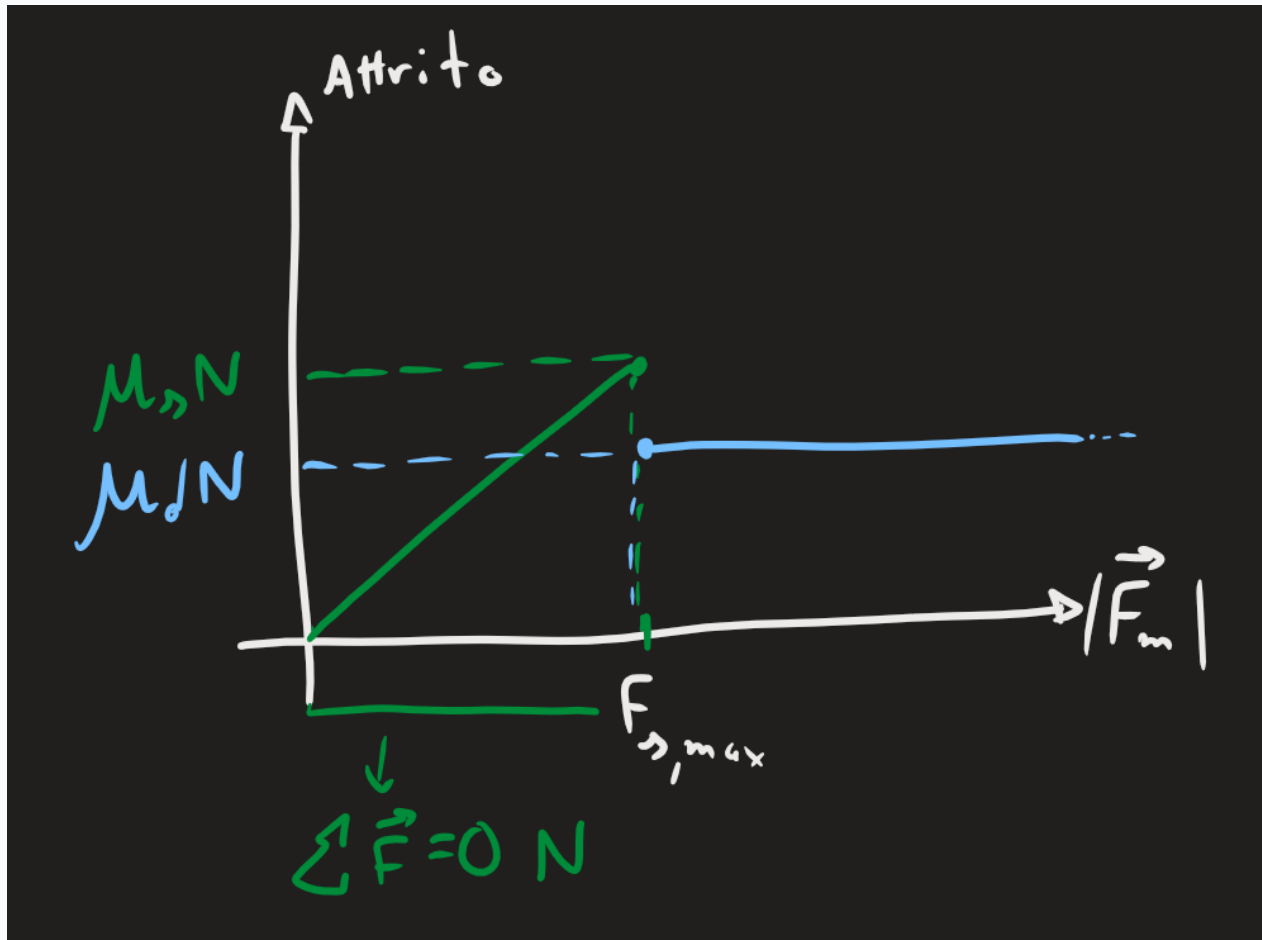
Definiamo i *coefficienti di attrito statico e dinamico* come i *numeri adimensionali* che descrivono la *quantità dell'attrito dinamico*.

In particolare abbiamo che valgono

$$\begin{aligned} F_d &= \mu_d N \\ F_d &\leq \mu_s N \end{aligned}$$

Quindi sicuramente possiamo dire che la *forza dinamica* è limitata dal valore  $\mu_s N$ .

**FIGURA 2.2.** (Grafico generale dell'attrito al variare dell'intensità della forza motrice)



#### #Osservazione

Osservazione (situazioni generali).

Osserviamo che generalmente vale che  $\mu_s \mu_d < 1$  (ma non *sempre!*); inoltre in moltissimi casi, vale anche  $\mu_s > \mu_d$ .

## B4. Resistenza dei Fluidi

### Resistenza dei Fluidi

La forza dovuta alla resistenza dei fluidi. Flusso laminare e flusso turbolento.

### 0. Voci correlate

- Attrito Statico e Dinamico
- Definizione di Massa e di Forza

# 1. Flusso laminare

## #Definizione

Definizione (flusso laminare, legge di Stoke).

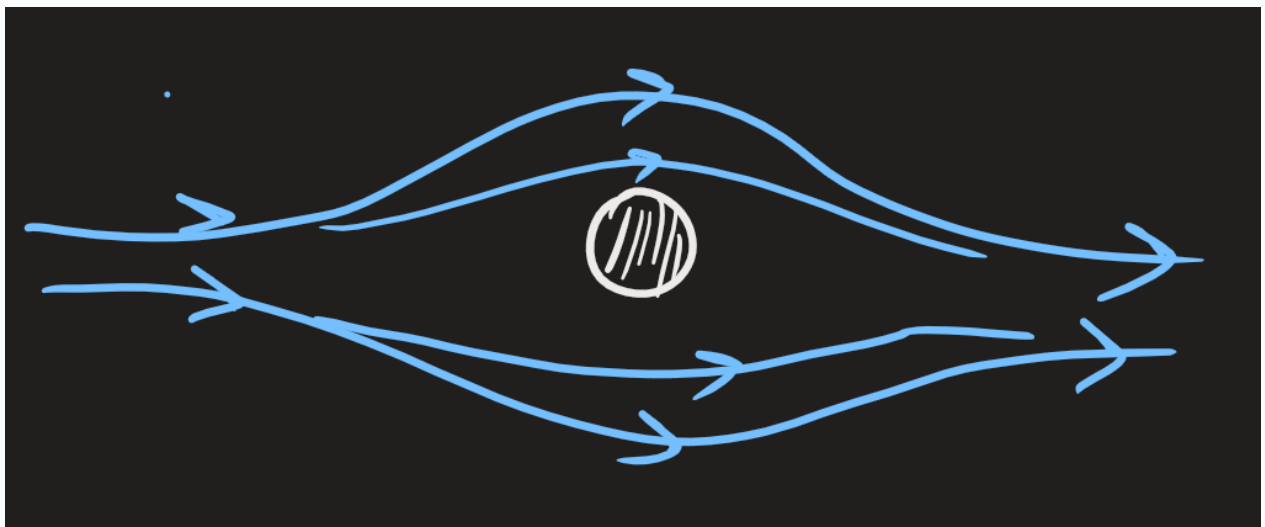
Supponendo che un *corpo* stia muovendo ad una "*velocità bassa*" con una *densità del fluido "bassa"*, possiamo modellizzare la resistenza con la *figura 1.1.* Ovvero, il fluido si "*devia*" attorno l'oggetto.

Quantitativamente la forza di resistenza si misura con la *legge di Stoke*.

$$\vec{F} = -b\vec{v}$$

dove  $b$  è un *coefficiente* in  $\frac{\text{kg}}{\text{s}}$ .

**FIGURA 1.1.** (*Flusso laminare*)



## #Osservazione

Osservazione (l'utilità di questo modello).

La *legge di Stoke* è utile dato che il modello dato è facilmente integrabile con la *seconda legge di Newton* (1), anche se nella realtà è raramente applicabile.

Infatti, si mette "*velocità bassa*" e "*densità bassa*" tra le virgolette, dal momento che applichiamo questo modello anche con *velocità alte* e *densità alte*.

## 2. Flusso turbolento

### #Definizione

#### Definizione (flusso turbolento).

In casi più realistici, si applica il *flusso turbolento*, dove il modulo della forza di resistenza viene descritta come segue.

$$\left| \vec{F}_v \right| = \frac{1}{2} \rho A C_D v^2$$

dove  $\rho$  è la *densità del fluido*;  $A$  è l'*area di proiezione dell'oggetto* secondo il fluido;  $C_D$  è un *coefficiente di resistenza* (drag), che dipende dalla forma dell'oggetto.

## B5. Forza Elastica

### Forza Elastica

*Definizione di forza elastica. Formula matematica per descrivere la forza elastica al variare della posizione  $x$  (legge di Hooke).*

## 0. Voci correlate

- Diagramma di Corpo Libero
- Formula di Taylor
- Definizione di Massa e di Forza

## 1. Definizione di Forza Elastica

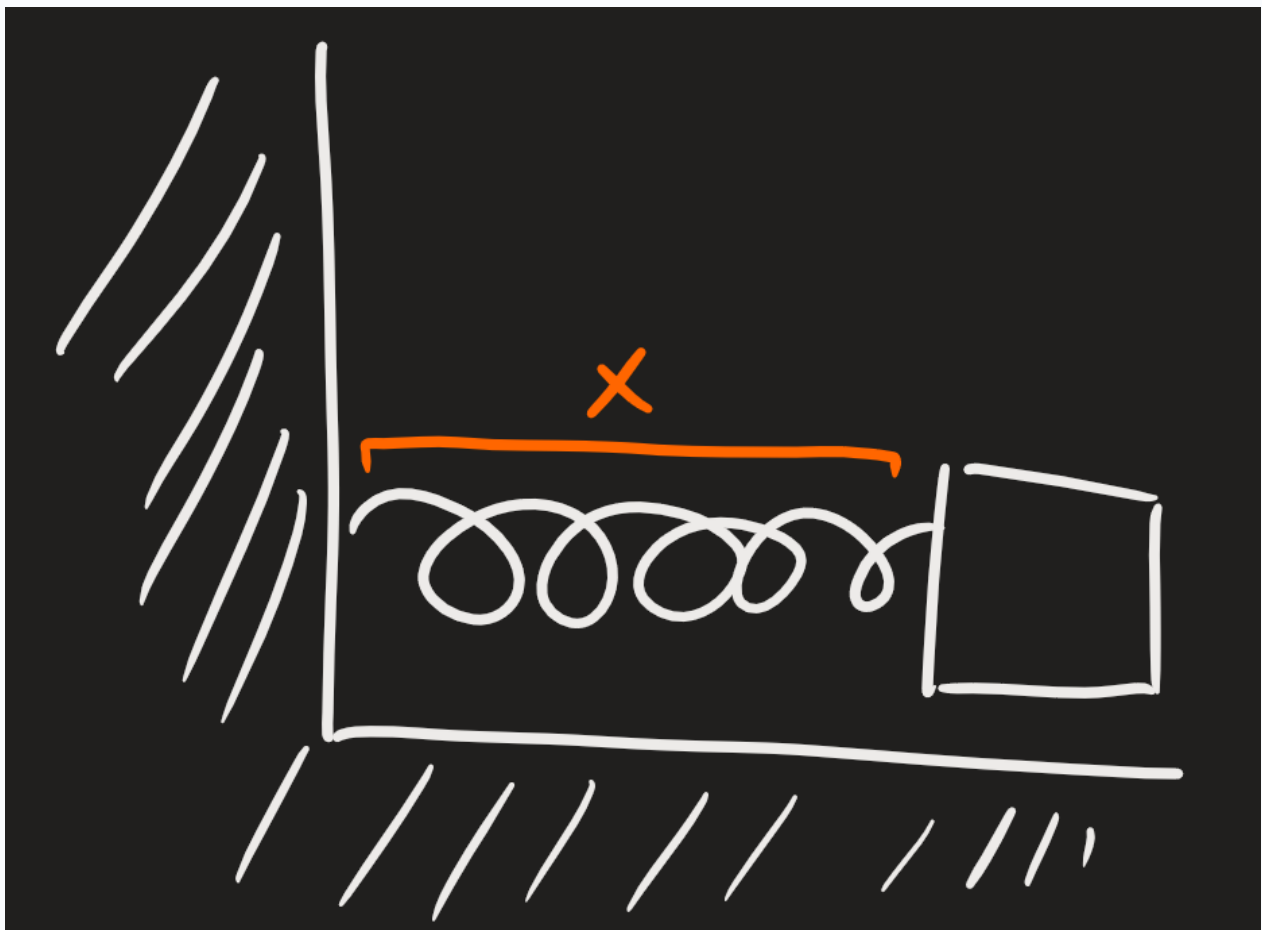
## Definizione (forza elastica).

Supponiamo di avere un'oggetto fermo (o in quiete) attaccato ad una molla, con una distanza  $x$  dall'origine della molla (*figura 1.1*).

Allora è naturale pensare che, esercitando un ulteriore spostamento  $\Delta x$ , abbiamo una forza che spinge l'oggetto *indietro* o *avanti*, a seconda del valore  $\Delta x$ .

Questa forza si dice *forza elastica*.

**FIGURA 1.1.** (*Situazione iniziale*)



## 2. Legge di Hooke

## Teorema (legge di Hooke).

La *forza elastica* esercitata da una molla si calcola come il seguente



$$F_x = -k \cdot \Delta x$$

dove  $k$  è una *costante di proporzionalità* (detta *rigidità*), misurata in  $\frac{\text{kg}}{\text{s}^2}$ .

#### #Osservazione

Osservazione (la legge di Hooke è un'approssimazione delle funzioni trigonometriche).

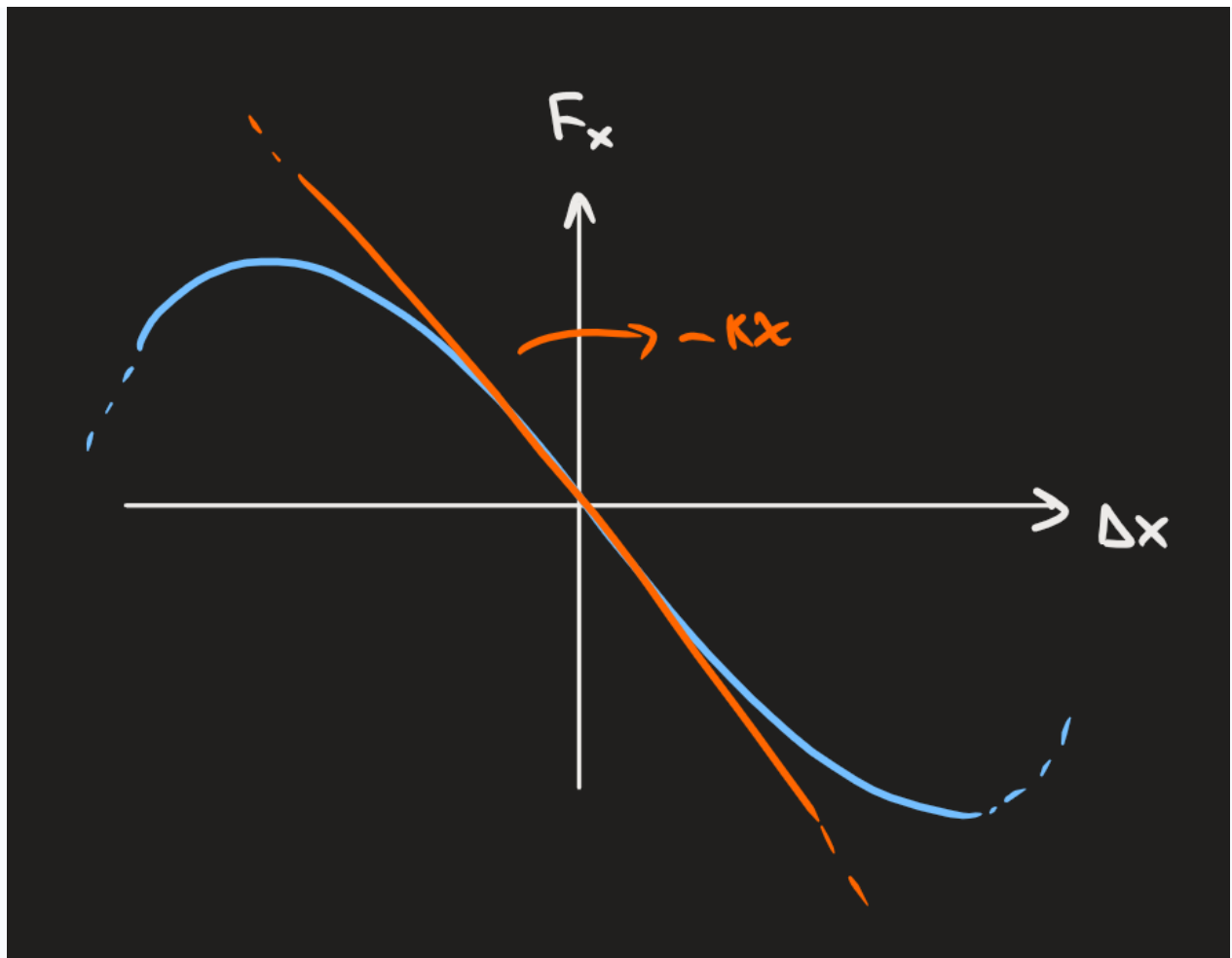
Notiamo che la *legge di Hooke* non è altro che la *prima espansione di Taylor*. Infatti, per la *formula di Taylor* (1 o 2) abbiamo che

$$\sin x \simeq x, \Delta x \rightarrow 0$$

Quindi, possiamo rappresentare la forza elastica con questa funzione? Sì, questo avrebbe senso con la nostra realtà; infatti, se tirassimo l'oggetto attaccato alla molla "*troppo*" in avanti o indietro, la *molla si spezzerebbe* (figura 2.1).

Tuttavia, questo renderebbe tutto più complicato da un punto di vista matematico, rendendo preferibile la rappresentazione della forza elastica secondo la *legge di Hooke*.

**FIGURA 2.1.** (*Grafico più realistico dell'andamento della forza elastica*)



## C. LE FORZE PARTICOLARI DELLA DINAMICA

### C1. Forza Centripeta

#### Forza Centripeta

*La dinamica del moto circolare: forza centripeta come forza qualificativa.  
Esempi di forza centripeta.*

#### 0. Voci correlate

- Moto Circolare Uniforme
- Definizione di Massa e di Forza

#### 1. Dinamica del moto circolare

#Definizione

### Definizione (forza centripeta).

Supponiamo che un oggetto stia muovendo con un *moto circolare uniforme* (1), con una *velocità*  $|\vec{v}|$  *costante* e un'accelerazione  $\vec{a}$  verso il centro.

Definiamo la *forza centripeta* come la *quantità di forza necessaria per mantenere questo moto circolare*. La formula per il modulo della forza centripeta è come segue (per il verso si sa che è sempre verso il centro).

$$|\vec{F}_c| = m|\vec{a}| = \frac{mv^2}{R}$$

#### #Osservazione

Osservazione (la forza centripeta è un qualificativo).

Osserviamo che, al contrario delle altre forze, la *forza centripeta* non spiega l'origine del *moto circolare*: descrive piuttosto il *moto*.

## 2. Esempi di Forza Centripeta

#### #Esempio

Esempio (lista di esempi).

Esempi di forza centripeta sono come seguono.

- Gravitazione Universale
- L'attrito statico di un'auto che va in cerchi
- Tensione
- Forza normale di un'oggetto che si gira (come il tagadà)
- Auto su una curva rialzata

Ci sono altri esempi, di cui non occupiamo.

## C2. Forza Apparente

### Forza Apparente

*Dinamica dei sistemi di riferimento non inerziali: caso lineare. Definizione di forza apparente. Esempio di forza apparente: il treno che accelera.*

## 0. Voci correlate

- Moti Relativi
- Definizione di Massa e di Forza

## 1. Sistemi di riferimento non inerziali

### #Osservazione

Osservazione (richiami preliminari).

Facciamo dei brevi *richiami* ai *sistemi di riferimento* (1). Ci ricordiamo la seguente legge fondamentale per i sistemi di riferimento  $A$  e  $B$ :

$$\vec{r}_{PA} = \vec{r}_{PB} + \vec{r}_{BA}$$

da cui segue

$$\vec{v}_{PA} = \vec{v}_{BA} + \vec{v}_{PB} + \text{rot}_1$$

dove  $\text{rot}_1$  è una *variabile* per tenere conto delle *rotazioni*. Inoltre, da qui segue anche

$$\vec{a}_{PA} = \vec{a}_{BA} + \vec{a}_{PB} + \text{rot}_2$$

dove  $\text{rot}_2$  è una *variabile analoga* a  $\text{rot}_1$ . Esempi di casi in cui bisogna tenere conto di queste variabili sono le seguenti: forza centrifuga e forza di Coriolis.

Adesso definiamo formalmente un *sistema di riferimento lineare non-inerziale*.

### #Definizione

Definizione (sistema di riferimento lineare non-inerziale).

Siano  $A$  e  $B$  dei sistemi di riferimento. Se vale che

$$\vec{a}_{PB} = \vec{a}_{PA} + \vec{a}_{BA}$$

con  $\vec{a}_{BA} \neq 0$ , allora si dice che  $A$  è un **sistema di riferimento inerziale** e  $B$  è un **sistema di riferimento non-inerziale**. In questo caso particolare diciamo che i sistemi di riferimento sono **lineari**, dato che  $\text{rot}_2 = 0$ .

## 2. Forza Apparente di un Sistema non-inerziale

### #Osservazione

Osservazione (osservazione per la forza apparente).

Notiamo che dall'equazione

$$\vec{a}_{PB} = \vec{a}_{PA} + \vec{a}_{BA}$$

segue, per la **seconda legge di Newton** (1), che

$$\vec{F}_A = m\vec{a}_{PA} = m\vec{a}_{PB} + m\vec{a}_{BA}$$

ovvero

$$\vec{F}_B = m\vec{a}_{PB} = \vec{F} - m\vec{a}_{BA}$$

### #Definizione

Definizione (forza apparente).

Siano  $A$  e  $B$  dei **sistemi di riferimento lineari**, rispettivamente uno inerziale e l'altro non-inerziale. Allora la quantità

$$\vec{F} = m\vec{a}_{BA}$$

si dice "*forza apparente*". Questo nome ci suggerisce infatti che si tratta di una forza "*apparente*" che rappresenta solamente un moto, ma non si tratta di una vera e propria forza.

### 3. Esempio del treno

#### #Esempio

#### Esempio (il pendolo nel treno).

Supponiamo che in un *treno*, che si sta accelerando un'un'accelerazione  $\vec{a}$ , c'è un *oggetto* attaccato al *soffitto* con una *corda ideale* (figura 3.1).

Notiamo che quando il treno si accelera, l'oggetto si *muove indietro*. Come mai? Per scoprirlo, usiamo le nozioni appena apprese sulle *forze apparenti*.

Prima di tutto notiamo che dal *sistema di riferimento inerziale* (ovvero quello esterno), abbiamo che vale l'equazione

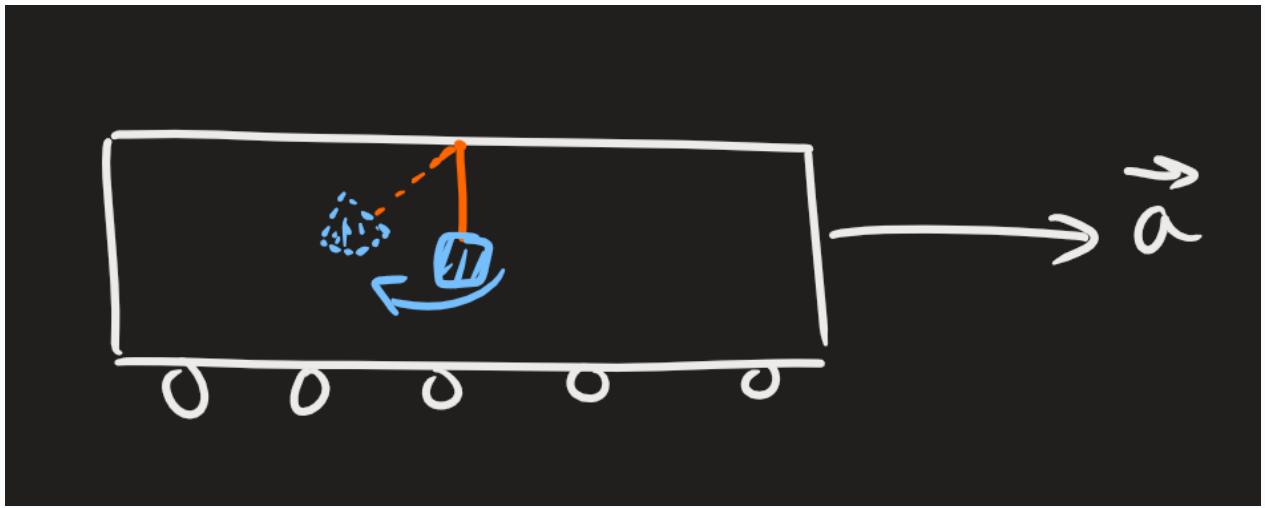
$$\sum \vec{F} = \vec{T} + \vec{F}_g = m\vec{a}$$

Poi per il *sistema di riferimento non-inerziale* (ovvero per il personaggio dentro il treno) abbiamo che l'oggetto è in *quiete*, ovvero

$$\sum \vec{F} = 0 \implies \vec{F} + \vec{T} + \vec{F}_g = 0 \implies \vec{F} = -m\vec{a}$$

allora vediamo che la *forza apparente*  $\vec{F}$  è *negativa*, ovvero che spinge l'oggetto *indietro*.

**FIGURA 3.1.** (*Situazione iniziale*)



## C3. Forza Gravitazionale

### Forza Gravitazionale

*La legge di gravitazione universale: enunciato e giustificazione pratica. Campo gravitazionale.*

## 0. Voci correlate

- Forza Centripeta

## 1. La Legge di Gravitazione Universale

#Teorema

Teorema (legge di gravitazione universale).

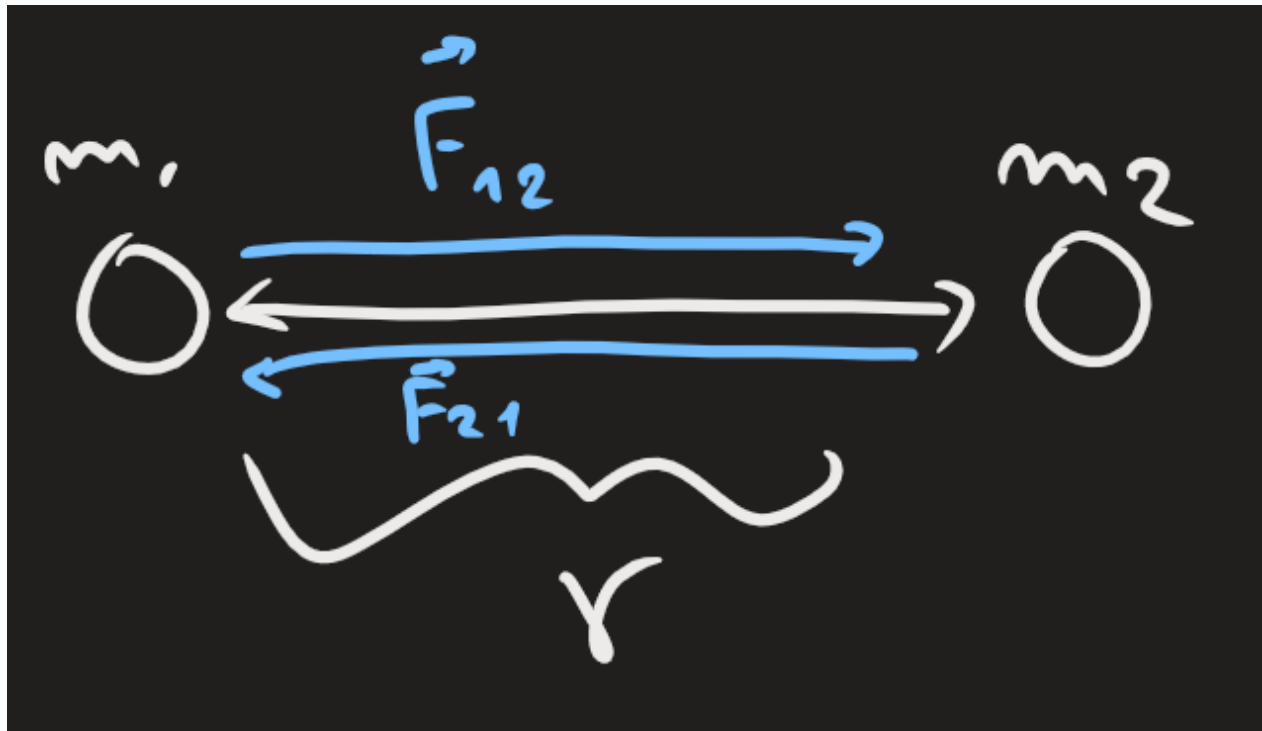
Due corpi, distanziati con una distanza  $r$  e aventi *massa*  $m_1$  e  $m_2$  si *attraggono sempre* con la *forza gravitazionale*, del cui modulo è data dalla formula

$$\left| \vec{F}_{12} \right| = G \frac{m_1 m_2}{r^2}$$

dove  $G$  è una *costante di conversione* per calcolare la forza in *Newton* [N]

.

**FIGURA 1.1.** (*Diagramma esplicativo*)



#Osservazione

Osservazione (la giustificazione pratica di Newton).

Newton enunciò questa legge per *scrivere* una *teorica unica* per descrivere sia la *caduta degli oggetti* che il *movimento degli astri*. Infatti, lui ha ragionato come segue.

Possiamo calcolare l'accelerazione centripeta della luna  $\vec{a}_c$ ;

$$a_c = \frac{v^2}{R} = \omega^2 R \simeq 2.66 \cdot 10^{-6} \frac{\text{m}}{\text{s}}$$

considerando che la distanza tra la luna e la terra è  $R = 385\,000\text{ km}$  e il tempo per girare la terra è 27,3 giorni.

Adesso osservo che alla superficie della terra ho l'accelerazione  $g \simeq 9.8 \frac{\text{m}}{\text{s}}$ .

Quindi, se le *causa della gravità terrestre* e l'*accelerazione centripeta della luna* sono le medesime, posso misurare le proporzioni

$$\frac{a_c}{g} \simeq 3600, \frac{R_L}{R_T} \simeq 60.43$$

Allora così noto che



$$\left(\frac{1}{\frac{R_T}{R_L}}\right)^2 \simeq \frac{a_c}{g} \longrightarrow F \propto \frac{1}{d^2}$$

ovvero la *forza è inversamente proporzionale* alla *distanza quadrata delle masse*.

## 2. Campo Gravitazionale

### #Definizione

Definizione (campo gravitazionale).

Si definisce il *campo gravitazionale* di un'oggetto avente massa  $m$  come il *campo scalare* dato da

$$\mathcal{G}(r) = G \frac{m}{r^2}$$

## C4. Forza Elettromagnetica

### Forza Elettromagnetica

*Interazione elettrostatica delle cariche, forza di Coulomb. Confronto numerico tra forza di Coulomb e forza gravitazionale. Campo elettrico. Interazione magnetica delle cariche data dal prodotto vettoriale di velocità e campo magnetico. Forza di Lorentz per l'interazione elettromagnetica.*

## 0. Voci correlate

- [Forza Gravitazionale](#)

## 1. Forza di Coulomb

### #Teorema

### Teorema (forza di Coulomb).

Due *oggetti* con distanza  $r$  e aventi cariche  $q_1$  e  $q_2$  provano una *forza repulsiva o attrattiva* tra  $q_1$  e  $q_2$ , detta come *forza di Coulomb*, e viene calcolata come segue

$$\vec{F}_{12} = -k_e \frac{q_1 q_2}{|\vec{r}_{12}|^2} \cdot \underbrace{\frac{\vec{r}_{12}}{|\vec{r}_{12}|}}_{\hat{r}}$$

dove  $k_e$  è la costante data da

$$k_e = \frac{1}{4\pi\epsilon_0} \simeq 8.99 \cdot 10^9 \frac{\text{Nm}^2}{\text{C}^2}$$

#### #Definizione

### Definizione (campo magnetico).

Si definisce il *campo magnetico* similmente al *campo gravitazionale* (1), ovvero come il *campo vettoriale* dato da

$$\vec{E}_q(\vec{r}) = -k_e \frac{q}{|\vec{r}|^2} \cdot \frac{\vec{r}}{|\vec{r}|}$$

## 2. Confronto Numerico tra Forza Elettrica e Gravitazionale

#### #Osservazione

Osservazione (confronto numerico tra forza di Coulomb e di Newton).

Notiamo che la *forza gravitazionale di Newton* (1) e la *forza di Coulomb* condividono la *medesima struttura matematica* per calcolare il *modulo delle forze*; tuttavia si trattano di forze completamente diverse.

Infatti, in certi contesti la *forza elettrica* è più *forte* della *forza gravitazionale*. Prendiamo le seguenti *particelle elementari*: un *protone*

ed un *elettrone*, coi valori

$$\begin{pmatrix} m_p & q_p \\ m_e & q_e \end{pmatrix} \simeq \begin{pmatrix} 1.672 \cdot 10^{-27} & 1.602 \cdot 10^{-19} \\ \underbrace{9.109 \cdot 10^{-31}}_{\text{kg}} & \underbrace{-1.602 \cdot 10^{-19}}_{\text{C}} \end{pmatrix}$$

Allora abbiamo che il *rapporto tra la forza elettrica*  $F_e$  e la *forza gravitazionale*  $F_g$  è data da

$$\frac{F_e}{F_g} = \frac{k_e q_e^2}{G m_e m_p} \cdot \frac{d^{-2}}{d^{-2}} \simeq 2 \cdot 10^{39}$$

Ovvero che la *forza elettrica* è più forte della *forza gravitazionale*  $2 \cdot 10^{39}$  volte; in questo caso la forza gravitazionale  $F_g$  diventa *trascurabile*.

### 3. Interazione Magnetica

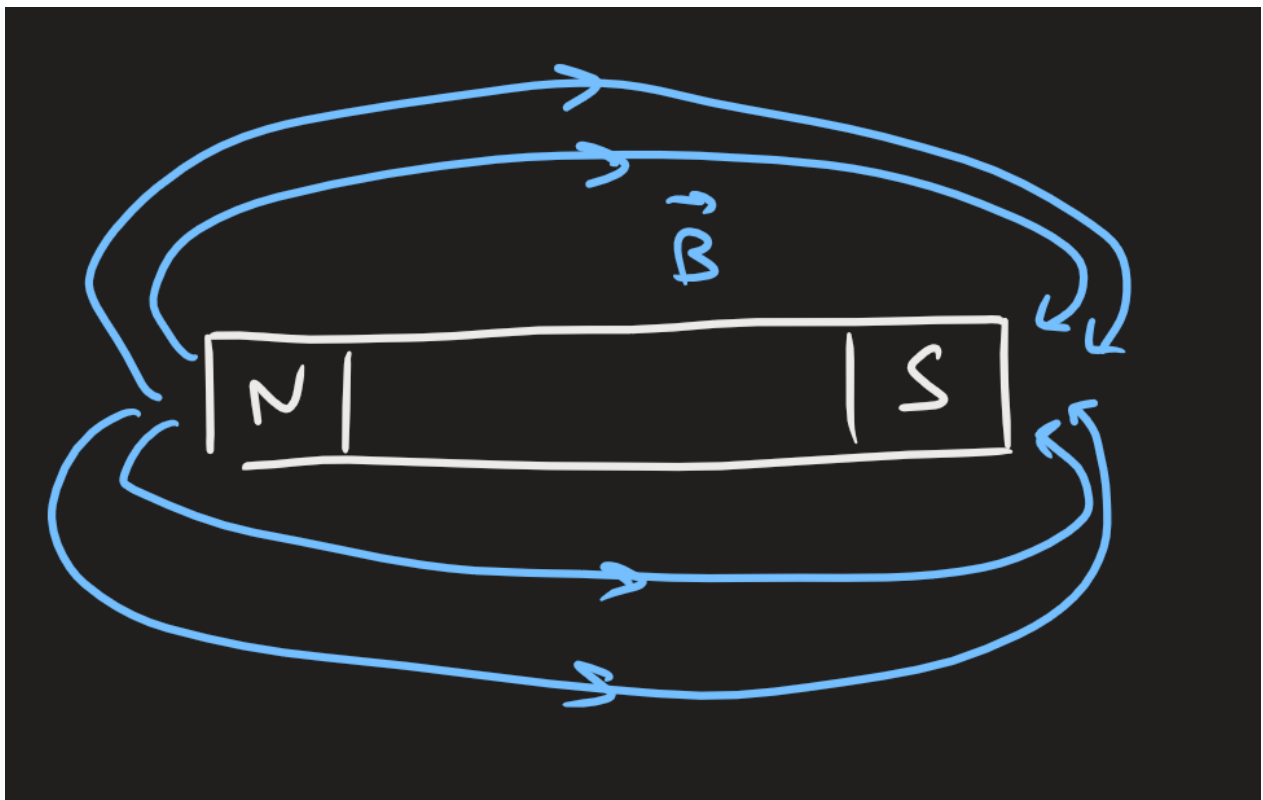
#### #Osservazione

Osservazione (osservazioni storiche del campo magnetico).

Il *campo magnetico* è stato *osservato* da tanto tempo, soprattutto assieme all'*interazione elettrica* della particella; ad esempio si ha il noto caso della *calamita*, col polo *nord* e *sud*.

Denomineremo il *campo magnetico* come  $\vec{B}$ .

**FIGURA 3.1.** (*La calamita*)



#### #Teorema

##### Teorema (forza magnetica).

Supponiamo di avere una *carica*  $q$ , *in movimento* con una velocità  $\vec{v}$  all'interno di un *campo magnetico*  $\vec{B}$ .

Allora la *forza magnetica* è data dal *prodotto vettoriale*

$$\vec{F} = q(\vec{v} \times \vec{B})$$

in particolare si ha che il suo modulo è

$$F = |\vec{v}| |\vec{B}| \sin \theta$$

(dove  $\theta$  è l'angolo creato dai due vettori)

Inoltre la direzione del vettore risultante del prodotto scalare  $\vec{F}$  è data dalla *regola della mano destra*.

#### #Proposizione

##### Proposizione (regola della mano destra).

Siano  $v_1$  e  $v_2$  dei **vettori** in  $\mathbb{R}^2$ . Allora la **direzione** del vettore risultante dato dal prodotto vettoriale  $v = v_1 \times v_2$  è **ortogonale** a entrambi i vettori  $v_1$  e  $v_2$  ed è data con la seguente procedura.

1. Estendere e aprire la mano destra
2. Estendere l'**indice** (o il **pollice**) come il **primo vettore**  $v_1$
3. Estendere il **dito medio** (o l'**indice**) come il **secondo vettore**  $v_2$
4. Il vettore risultante  $v$  è il **pollice** (o il **dito medio**)

Notare che abbiamo **due procedure possibili**; il risultato finale è **indifferente** dalle dita usate, quindi si può usare la maniera più **conveniente**.

## 4. Forza di Lorentz

### #Teorema

Teorema (forza di Lorentz).

Sia  $q$  una **carica puntiforme** con velocità  $\vec{v}$ , immerso in un **campo magnetico**  $\vec{B}$  e **campo elettrico**  $\vec{E}$ .

Allora si dice **la forza di Lorentz** come la **forza elettrica** e la **forza magnetica** esercitata su questa carica ed è data dalla formula seguente.

$$\vec{F} = q \left( \vec{E} + \vec{v} \times \vec{B} \right)$$

## D. LE APPLICAZIONI DELLA DINAMICA

### D1. Il piano inclinato

#### Il Piano Inclinato

*Caso specifico della dinamica: il piano inclinato.*

## 0. Voci Correlate

- Definizione di Massa e di Forza
- Forza Peso e Forza Normale
- Attrito Statico e Dinamico
- Diagramma di Corpo Libero
- Funzioni trigonometriche

## 1. Il Piano Inclinato senza Attrito

### #Osservazione

Osservazione (il piano inclinato, osservazione preliminare).

Vogliamo studiare il *piano inclinato*. Ovvero, abbiamo un *blocco* con massa  $m$  su un *piano inclinato* (*figura 1.1*). Prima di modellizzare questa situazione, facciamo delle considerazioni preliminari.

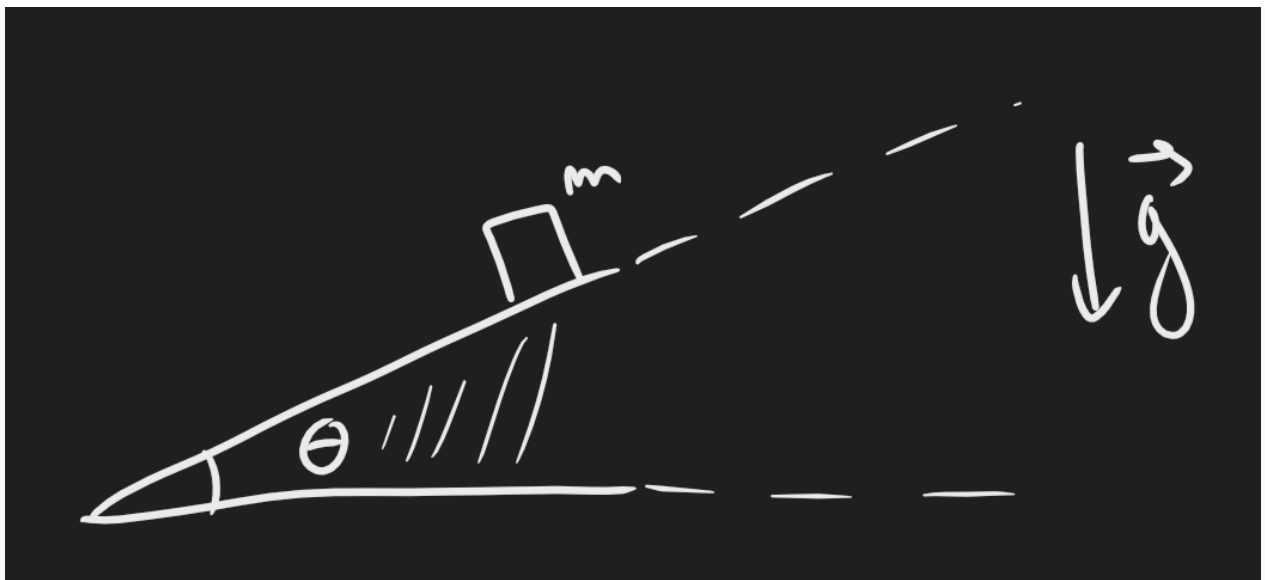
Innanzitutto ci chiediamo *cosa vogliamo sapere*: supponiamo di conoscere l'angolo  $\theta$  dell'angolo, la massa  $m$  e l'accelerazione gravitazionale  $\vec{g}$ . Allora, è naturale chiederci *come calcolare* l'*accelerazione* parallela al piano  $|\vec{a}|$  della forza risultante (che non è nulla) e la *forza normale*  $|\vec{N}|$ .

Adesso pensiamo ai casi limiti. Se  $\theta = 0$ , abbiamo un *piano perfettamente normale*; quindi l'accelerazione è nulla, invece la forza normale è massimale. Al contrario abbiamo  $\theta = \frac{\pi}{2}$ ; poiché in questo caso si ha una *caduta libera*, la *forza normale* è non-esistente (se si assume di ignorare forze di attrito).

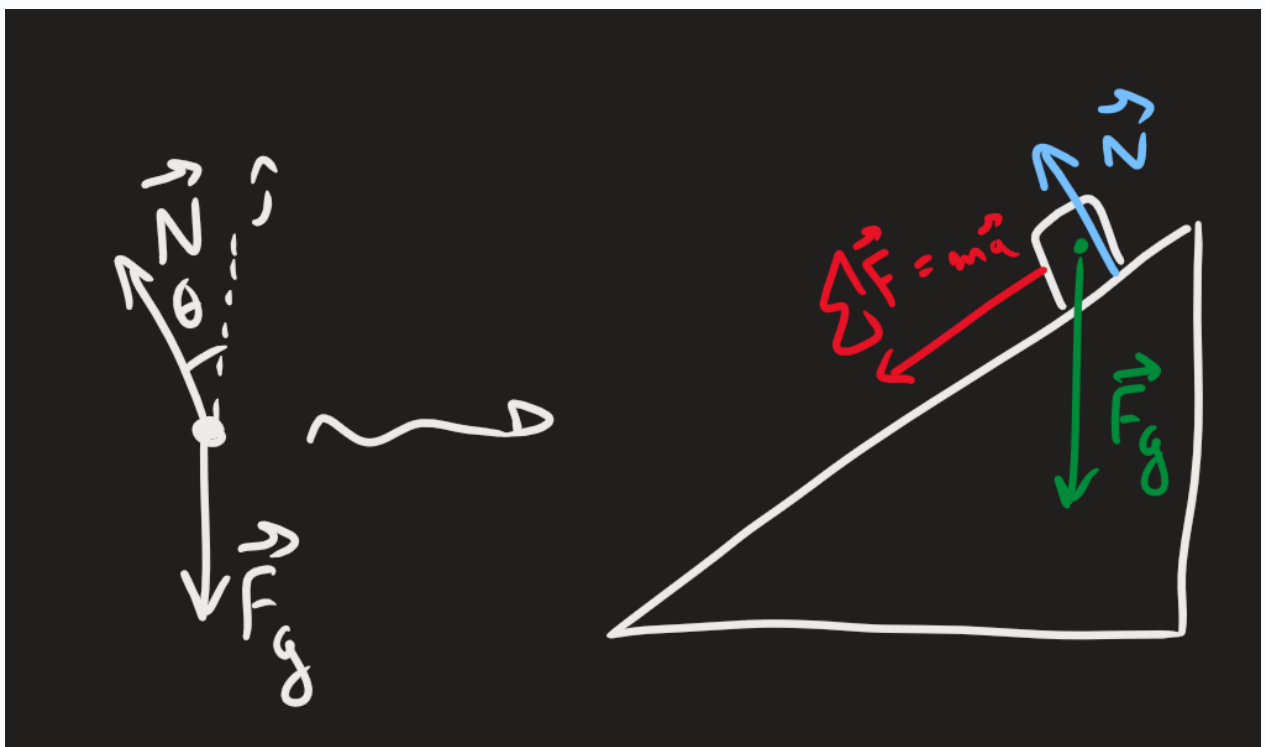
Pertanto, possiamo concludere di avere qualcosa a che fare con le *funzioni trigonometriche*  $\sin$  e/o  $\cos$  (1).

Disegniamo adesso il *diagramma del corpo libero* (*figura 1.2*) (2). Per procedere, bisognerà effettuare delle *scelte nel sistema di riferimento*.

**FIGURA 1.1.** (*Situazione preliminare*)



**FIGURA 1.2.** (*Diagramma di corpo libero*)



#### #Proposizione

##### Proposizione (ver. 1).

Osserviamo che  $\vec{a}$  è ortogonale a  $\vec{N}$ .

Scegliamo il seguente sistema di riferimento: invece di scegliere la base standard  $\mathcal{E}^2 = (\hat{i}, \hat{j})$ , facciamo la seguente scelta. Prendiamo  $\hat{i}'$  come l'asse *parallela* al vettore  $\vec{a}$  e prendiamo  $\hat{j}'$  come l'asse *parallela* alla normale  $\vec{N}$ . Ovviamente questi devono essere versori quindi devono avere norma unitaria e avere il prodotto scalare nullo.

Inoltre, richiamando la definizione di prodotto scalare ho

$$\hat{j} \cdot \hat{j}' = \cos \theta$$

e

$$\hat{j} \cdot \hat{i}' = \sin \theta$$

Adesso procediamo con la nostra modellizzazione; le leggi della fisica valgono lo stesso.

Scomponiamo le forze in vettori; ovvero con

$$\vec{a} = a_x \hat{i} + a_y \hat{j} = \vec{a} \hat{i}'$$

e

$$\vec{N} = N_x \hat{i} + N_y \hat{j} = \vec{N} \hat{j}'$$

Usando la *seconda legge di Newton* ho

$$\vec{F}_g + \vec{N} = m\vec{a}$$

Ricordandomi che posso effettuare il *cambiamento di base* moltiplicando una qualsiasi forza con i versori  $\hat{i}'$  o  $\hat{j}'$ , ho le coordinate della forza risultante  $\sum \vec{F}$

$$\sum F \rightarrow \begin{cases} \hat{i}' : \vec{F}_g \cdot \hat{i}' = -mg \sin \theta = m\vec{a} \\ \hat{j}' : \vec{F}_g \cdot \hat{j}' + N = -mg \cos \theta + N = 0 \end{cases}$$

(la componente  $\hat{j}'$  è nulla per vincolo geometrico; infatti il corpo non può "cadere o salire sotto o sopra il piano")

Infine, ottengo i valori

$$\begin{aligned} \vec{a} &= -g \sin \theta \cdot \hat{i}' \\ \vec{N} &= mg \cos \theta \cdot \hat{j}' \end{aligned}$$

che sono sufficienti per fornire il *modulo delle forze*.

#Proposizione

Proposizione (ver 2.).



## D2. Esempi Notevoli della Dinamica

### Esempi Notevoli di Forze della Dinamica

*Applicazioni della dinamica a situazioni realistiche: distanza di frenatura; angolo critico su una superficie angolata; ...*

## 0. Voci correlate

- Definizione di Massa e di Forza
- Principi della Dinamica
- Attrito Statico e Dinamico
- Resistenza dei Fluidi
- Forza Elastica
- Forza Gravitazionale
- Forza Elettromagnetica

## 1. Distanza di Frenatura (attrito dinamico)

### #Osservazione

Osservazione (la distanza di frenatura dato l'attrito).

Precedentemente siamo riusciti a calcolare la *distanza di frenatura* di un'automobile, data una velocità iniziale  $v_0$  e un'accelerazione negativa (1).

Adesso generalizziamo questa situazione con l'attrito.

Prendiamo le componenti della forza di un'automobile in movimento:

$$\sum \vec{F} = m\vec{a} \implies \vec{F}_g + \vec{N} + \vec{F}_d = m\vec{a}$$

Separando le forze per componenti, abbiamo che

$$\begin{cases} \hat{j} : -mg = N \\ \hat{i} : \vec{F}_d = \mu_d N = -m\mu_d g = ma_x \implies -\mu_d g = a_x \end{cases}$$

abbiamo ottenuto che  $a_x = -\mu_d g$ . Adesso, richiamo la formula per lo scarto dei quadrati delle velocità (2):

$$v^2 - v_0^2 = 2a(x - x_0)$$

Allora, dato che  $v = 0$  (la velocità finale è nulla) segue che abbiamo

$$a_x = -\frac{v_0^2}{2d}$$

Pertanto ottenere il risultato finale

$$\frac{v_0^2}{2d} = \mu_d g \implies \boxed{d = \frac{v_0^2}{2g\mu_d}}$$

Da notare che anche con l'attrito la **distanza** aumenta con un'andamento quadratico in funzione della velocità; questo è uno dei tanti motivi per imporre i **limiti di velocità**.

## 2. Angolo critico di un oggetto sul piano inclinato (attrito statico)

### #Osservazione

Osservazione (l'angolo critico).

Prendiamo un oggetto su un piano inclinato (1). Considerandoci l'attrito, la forza attrito cambia al variare dell'angolazione  $\theta$ ; esiste un certo "**angolo critico**"  $\theta_c$  tale che l'accelerazione  $|\vec{a}|$  diventa sufficientemente grande per far spostare l'oggetto, facendo attivare l'**attrito dinamico**.

Vogliamo determinare tale  $\theta_c$  al variare del coefficiente  $\mu_s$  (2). Innanzitutto prendiamo la prima legge di Newton, per cui quando l'oggetto è fermo abbiamo che la somma di forze è

$$\vec{F}_s + \vec{N} + m\vec{g} = 0$$

Adesso prendiamo il modulo di  $|\vec{F}_s|$ ;

$$|\vec{F}_s| = mg \sin \theta \leq \mu_s N = \mu_s mg \cos \theta$$

Allora otteniamo immediatamente il risultato

$$\frac{\sin \theta}{\cos \theta} \leq \mu_s \implies \tan \theta \leq \mu_s$$

(Nota bene: il coefficiente  $\mu_s$  NON rientra nella definizione dell'attrito, bensì è semplicemente un "valore limite")

Quindi sappiamo che l'angolo massimale  $\theta_c$  che soddisfi l'equazione sopra è

$$\theta_c = \arctan \mu_s$$

#### #Osservazione

Osservazione (metodo sperimentale per misurare l'attrito statico).

Possiamo usare l'equazione sopra "al contrario", ovvero sapendo l'angolo determiniamo il coefficiente  $\mu_s$ .

## 3. Angolo stabile del drone (flusso laminare)

#### #Osservazione

Osservazione (l'angolo stabile di un drone).

Supponiamo di avere un **drone** come nella **figura 3.1.** Supponiamo di avere il **flusso laminare** (1). Allora vogliamo conoscere l'angolo  $\theta$  tale che questo drone possa muoversi con una **velocità costante**  $v$ .

Disegniamo prima di tutto il **diagramma di corpo libero**, che è come nella **figura 3.2.** Adesso, usando la seconda e la prima legge di Newton, ricaviamo che la forza risultante è **nulla**. Ovvero,

$$\sum \vec{F} = \vec{F}_s + \vec{F}_g + \vec{F}_R = 0$$

Prendendo le singole componenti, abbiamo

$$\begin{cases} \hat{i} : -bv + \sin \theta |\vec{F}_s| = 0 \\ \hat{j} : -mg + \cos \theta |\vec{F}_s| = 0 \end{cases}$$

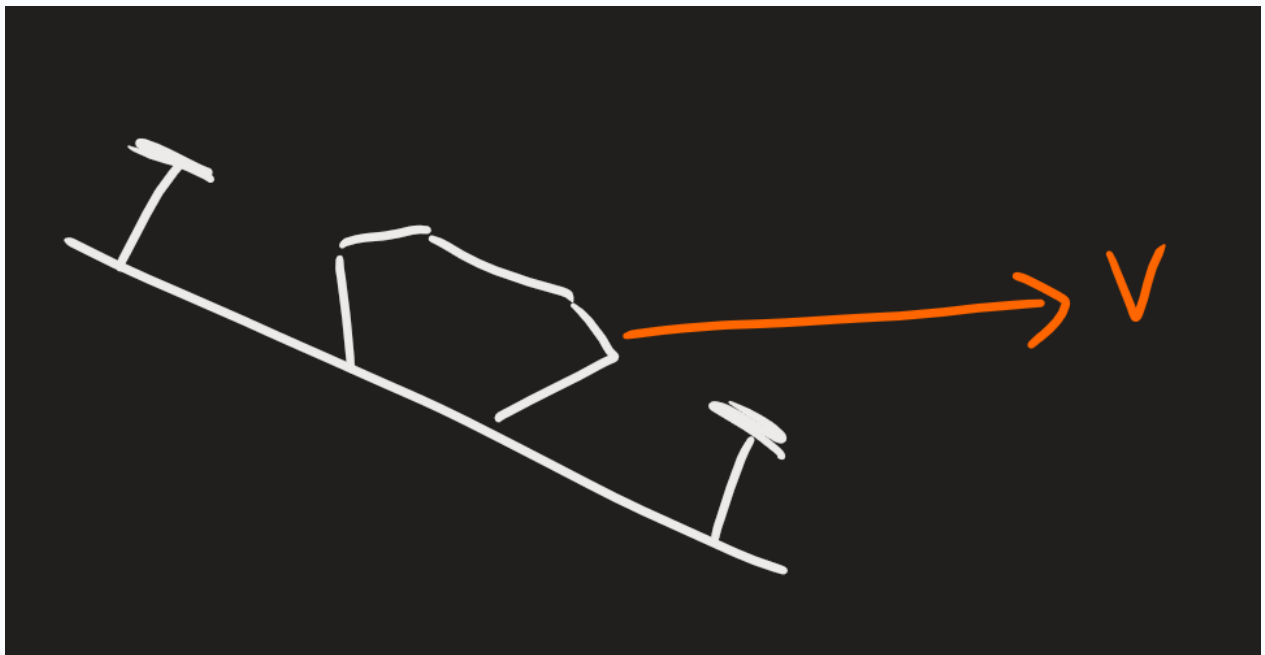
Allora abbiamo

$$\tan \theta = \frac{bv}{mg}$$

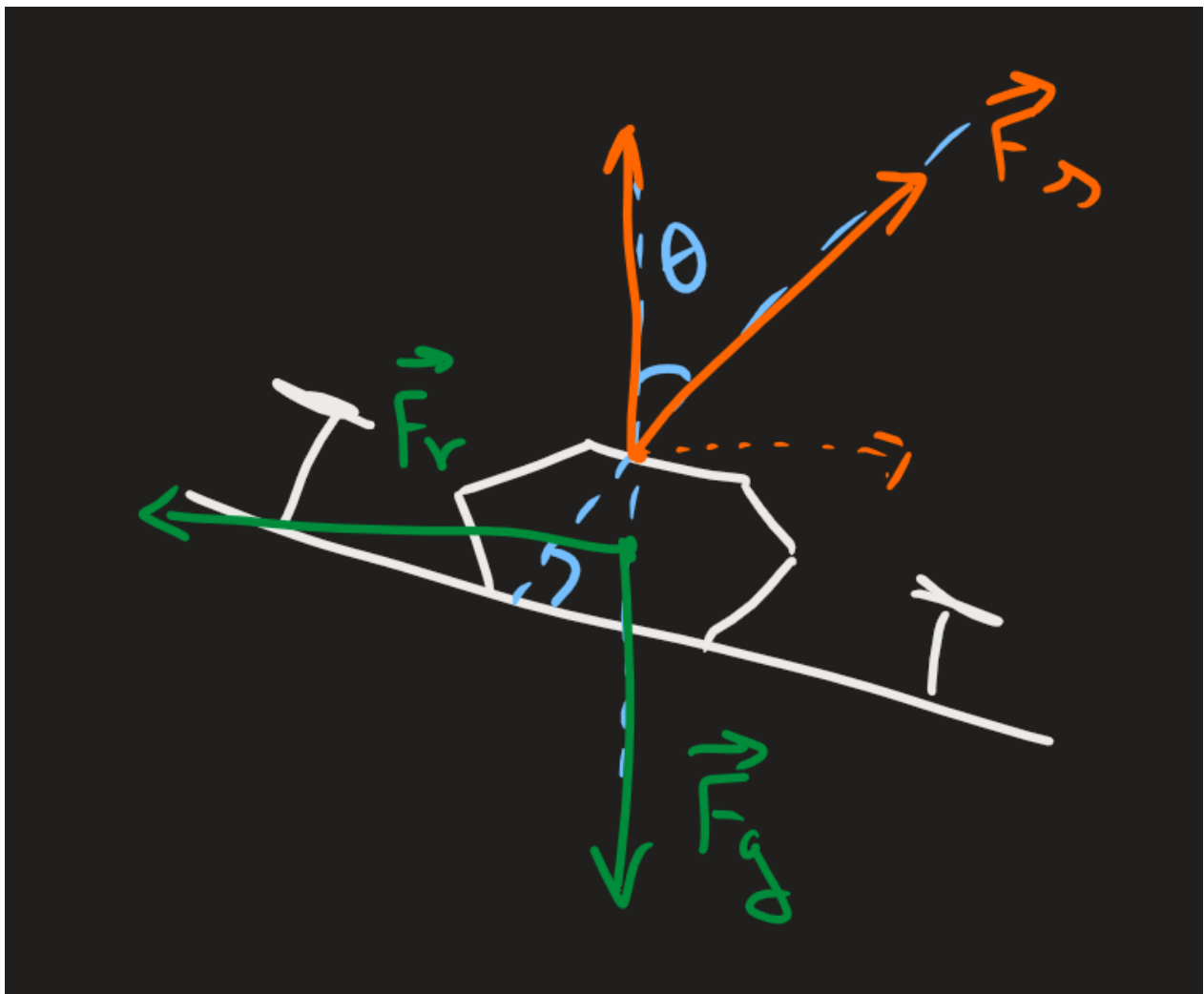
dandoci il risultato finale

$$\theta = \arctan \left( \frac{bv}{mg} \right)$$

**FIGURA 3.1.** (*Situazione iniziale*)



**FIGURA 3.2.** (*Diagramma di corpo libero*)



## 4. Velocità terminale di un paracadutista (flusso turbolento)

#Osservazione

Osservazione (la velocità terminale di un oggetto in caduta libera).

Riprendiamo il problema dell'oggetto in *caduta libera* (1). Adesso consideriamo la *resistenza dell'aria*, in particolare con un *flusso turbolento* (2).

Allora, sapendo che ad un certo punto l'oggetto si muove con una *velocità costante* (detta *velocità terminale*), abbiamo dunque accelerazione  $\vec{a}$  nulla. Possiamo usare i principi della dinamica, per cui

$$\sum \vec{F} = \vec{F}_g + \vec{F}_R = 0 \implies \vec{F}_R = -\vec{F}_g$$

Allora da questo segue che

$$\frac{1}{2}\rho AC_d v^2 = mg$$

che ci dà il risultato finale

$$v = \sqrt{\frac{2mg}{\rho AC_D}}$$

#### #Osservazione

Osservazione (la dipendenza dalla massa).

Qui osserviamo che, a differenza dall'attrito statico e dinamico, abbiamo un fattore che *dipende* dalla massa  $m$ .

## 5. Strada inclinata in curva (forza centripeta)

#### #Osservazione

Osservazione (strada inclinata in curva).

Supponiamo che una *strada* sia *inclinata in curva*, con un raggio  $R$  e un'angolazione  $\theta$  (*figura 5.1*). Conoscendo il raggio  $R$  e la velocità  $v$  dell'auto, vogliamo conoscere l'angolo  $\theta$ .

Prendendo un pezzo della curva e disegnandoci il diagramma di corpo libero dell'auto sulla curva (*figura 5.2*), otteniamo che

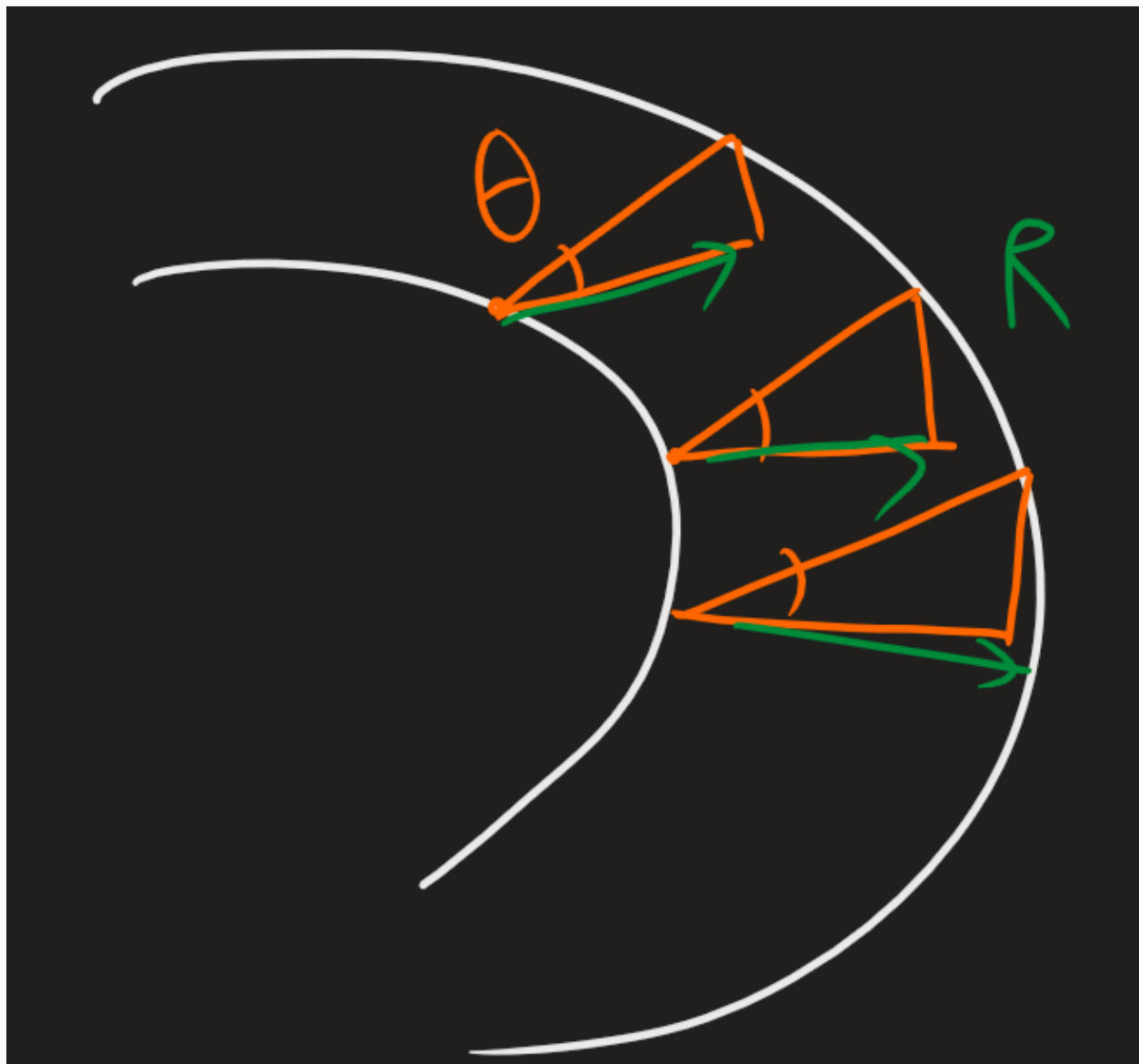
$$\begin{cases} \hat{i} : N \sin \theta = \frac{mv^2}{R} \\ \hat{j} : N \cos \theta = mg \end{cases}$$

Allora abbiamo

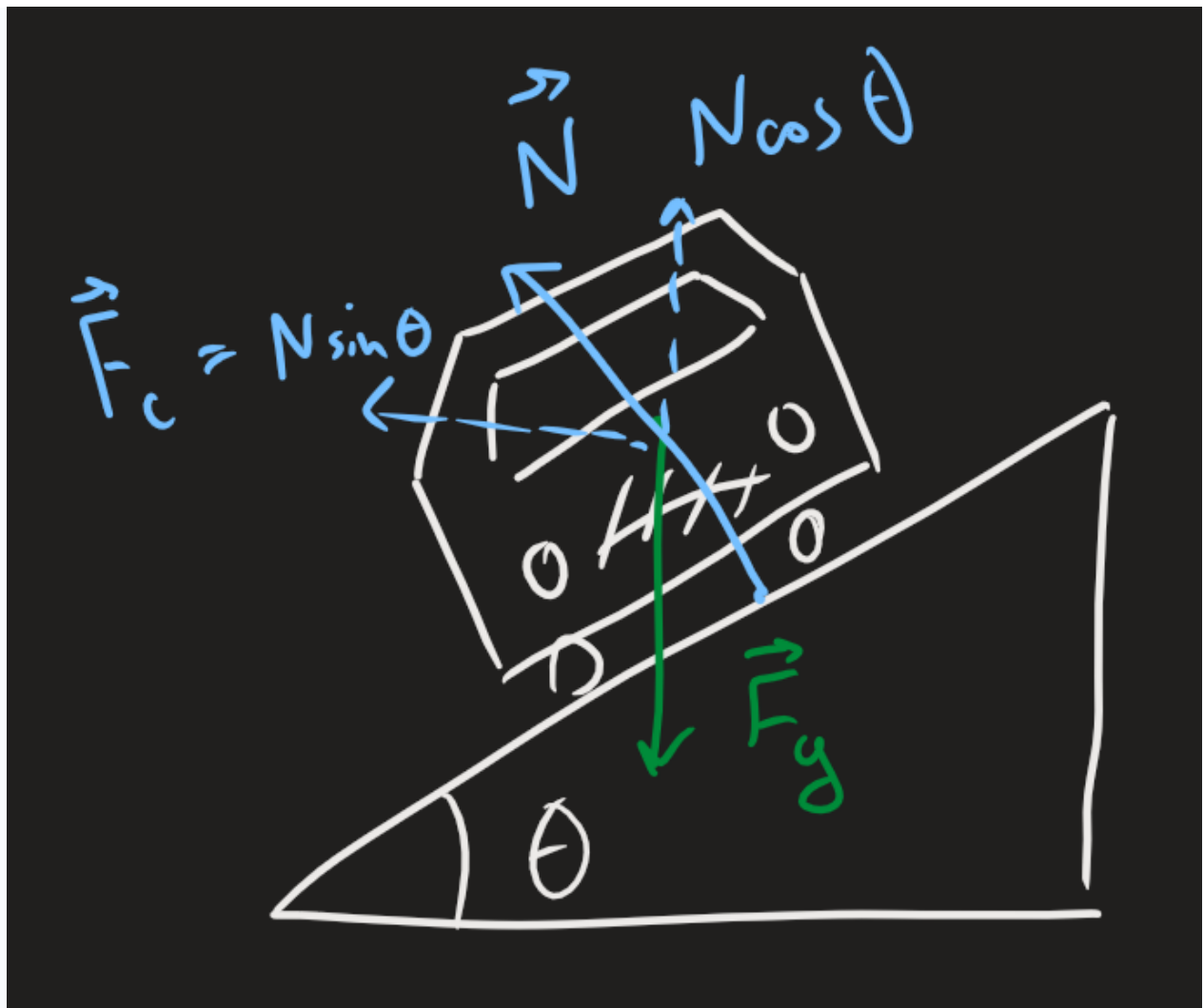
$$\tan \theta = \frac{v^2}{Rg}$$

che è il risultato desiderato.

**FIGURA 5.1.** (*Situazione iniziale*)



**FIGURA 5.2.** (*Diagramma di corpo libero*)



## 6. Spostamento di un oggetto su una molla al variare della massa (forza elastica)

#Osservazione

Osservazione (spostamento di un oggetto su una molla).

Supponiamo di avere una **molla**, su cui attacchiamo un'oggetto di **massa**  $m$  con **estensione**  $x$ . Adesso attacco all'oggetto con un **altro oggetto** con massa  $M$  (**figura 6.1**).

L'estensione  $x$  cambia o no? Se sì, qual è lo scarto  $\Delta x$  tra la nuova posizione  $x'$  e la posizione originaria  $x$ ?

Usiamo le nozioni sulla **forza elastica** per scoprire le risposte.

Prima di tutto disegno il **diagramma del corpo libero** di entrambi i corpi, rappresentando il primo corpo come 1 e il secondo come 2; così scopriamo che

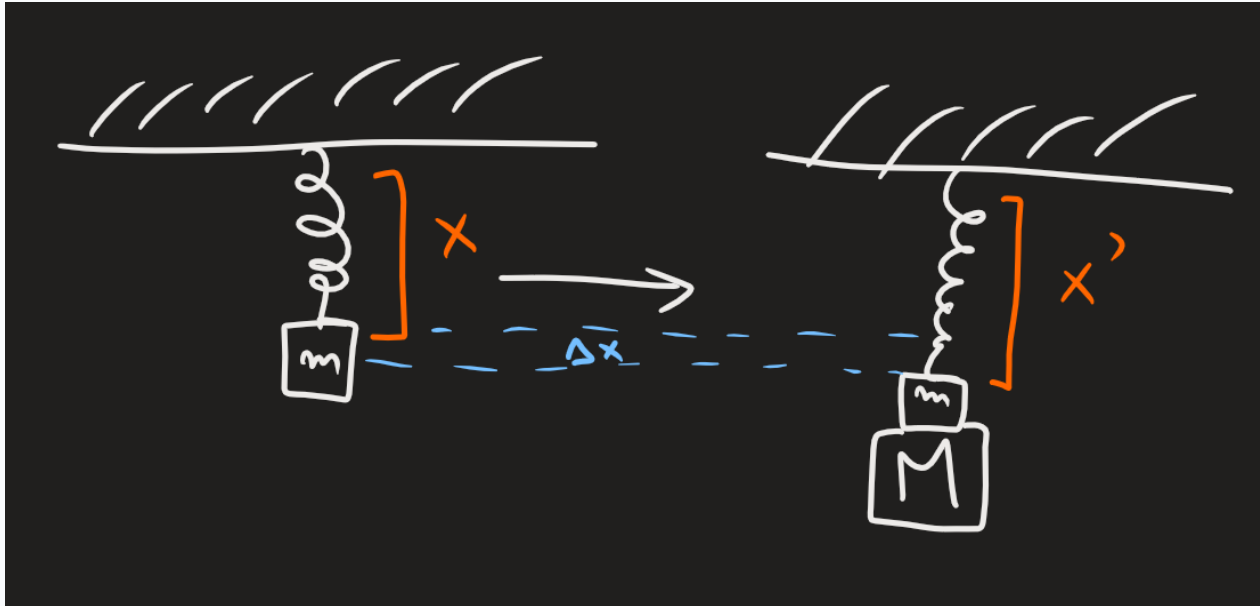


$$\begin{cases} \vec{F}_{x1} + \vec{F}_{g1} = 0 \\ \vec{F}_{x2} + \vec{F}_{g2} = 0 \end{cases} \implies kx = mg \wedge k(x + \Delta x) = (m + M)g$$

Allora segue che

$$\Delta x = \frac{Mg}{k}$$

**FIGURA 6.1.** (Problema)



## 7. Velocità necessaria per orbitare la terra (forza gravitazionale)

### #Osservazione

Osservazione (superman che corre sulla terra).

Il supereroe **Superman** sta correndo attorno la terra con una velocità piuttosto alta (trascurando eventuali attriti). Vogliamo sapere la **velocità necessaria** per il supereroe per poter **orbitare la terra**, alzandosi un po' (quantità di spazio trascurabile a 0).

L'unica forza di cui conosciamo è la **forza gravitazionale** data da

$$F_g = G \frac{m \cdot m_T}{r_T^2}$$

vogliamo far *coincidere* la *forza gravitazionale* con la *forza centripeta*.

Sappiamo che quest'ultima è data da

$$F_c = m \frac{v^2}{R}$$

allora otteniamo la formula finale

$$v = \sqrt{\frac{Gm_T}{r_T}} = \sqrt{gr_T}$$

in questo caso abbiamo  $v \simeq 28\,000 \frac{\text{km}}{\text{h}}$ .

Per calcolare il periodo dell'orbita basta considerare che  $\omega = \frac{r_T}{v}$  e quindi

$$T = \frac{2\pi}{\omega} = 2\pi \sqrt{\frac{r_T}{g}} \simeq 84 \cdot 60 \text{ s}$$

**FIGURA 7.1.** (*Problema*)



## 8. Elettrone sparato in un condensatore (forza elettrica)

#Osservazione

Osservazione (carica sparata verso un condensatore).

Supponiamo di *sparare* una *carica qualsiasi*  $q$  ad una velocità  $\vec{v}$ , verso un *circuito elettrico* collegato ad un *condensatore a facce piane*, che a sua volta genera il campo elettrico  $\vec{E}$  (in particolare dalla sua differenza di potenziale d.d.p.).

Vogliamo determinare la sua *accelerazione* al variare di  $q$ .

Prima di tutto prendiamo il *campo elettrico* in riferimento al solo versore  $\hat{j}$  (dato che il campo elettrico prodotto da un condensatore punta solo ad un verso).

$$\vec{E} = E \cdot \hat{j}$$

Adesso prendiamo la *forza elettrica* della particella

$$\vec{F} = q\vec{E} = m\vec{a}$$

Allora abbiamo

$$\vec{a} = \frac{q}{m}\vec{E}$$

Ovvero

$$a \cdot \hat{j} = \frac{qE}{m} \cdot \hat{j}$$

Notiamo che la particella si comporta come il *moto di un proiettile* (1).

**FIGURA 8.1.** (*La carica-proiettile*)

